



## References

1. Vlasov V. Z. *Obshchaia teoriia obolochek* [General theory of shells]. Moscow, Gos. izd. teh. teor. lit., 1949, 784 p. (in Russian).
2. Burmistrov E. F. *Simmetrichnaia deformatsiia konstruktivno-ortotropnykh obolochek vrashcheniia* [Symmetric deformation of structurally orthotropic shells of revolution]. Saratov, Saratov. Univ. Press, 1962. 108 p. (in Russian).
3. Mochalin A. A. Sustainability semi-momentless cylindrical shell of variable thickness. *Izv. vuzov. Mashinostroenie*, 1975, no. 11, pp. 27–31 (in Russian).
4. Shteinberg M. V. Calculation of circular cylindrical shells with variable thickness in the direction of forming. *Prikladnaia mekhanika*, 1965, vol. 1, iss. 7, pp. 67–72 (in Russian).

УДК 539.274

# РАСЧЕТ ПАРАМЕТРОВ НАГРУЖЕНИЯ ПОЛОГО ШАРА В УСЛОВИЯХ БОЛЬШИХ УПРУГОПОЛЗУЧИХ ДЕФОРМАЦИЙ

Е. В. Мурашкин

Кандидат физико-математических наук, научный сотрудник, Институт проблем механики им. А. Ю. Ишлинского РАН, Москва, murashkin@ipmnet.ru, evmurashkin@gmail.com

Предложена модель больших упругоползучих деформаций. Разделение тензора полных деформаций альманси определяется уравнениями изменения обратимой и необратимой его составляющих. Рассмотрено сферически симметричное деформирование полого шара в процессе установившейся ползучести. Получена разрешающая система уравнений рассматриваемой краевой задачи. Предложен способ определения нагружающего усилия вызывающего заданное деформированное состояние. По заданным законам изменения поля перемещений построены функции внешнего нагружающего усилия.

*Ключевые слова:* большие деформации, ползучесть, упругость, релаксация.

## ВВЕДЕНИЕ

Необходимость повышения точности математического описания процессов, происходящих при технологической обработке и эксплуатации металлоизделий, вынуждает учитывать упругие свойства материалов на всех стадиях жизненного цикла изделия. Рассмотрение задач в классических моделях малых деформаций невозможно, когда относительное изменение формы рассматриваемого тела велико. Одной из таких характерных задач, где нельзя обойтись без применения модели больших деформаций, является задача о моделировании процессов в окрестности микропоры в металле, происходящих под действием интенсивного давления. Актуальность данной задачи обусловлена обнаруженным на опыте эффектом существенного повышения эксплуатационных характеристик металла при интенсивном всестороннем сжатии образцов [1] «залечивания» микродефектов сплошности. Попытки смоделировать процесс залечивания микропоры в металле делались неоднократно, в том числе и на основе модели больших упругопластических деформаций [2], обладающей эффектом приспособляемости к периодическим нагружениям по циклу «нагрузка – разгрузка» [3].

В настоящей работе решена задача о сферически симметричном сжатии шара с микропорой в центре. Условие несжимаемости среды определяет кинематику среды с точностью до неизвестной функции времени, что позволяет по известному закону деформирования определить процесс нагружения, вызывающий заданное деформированное состояние.

## 1. ОСНОВНЫЕ МОДЕЛЬНЫЕ ЗАВИСИМОСТИ

За основу возьмем модель больших упругопластических деформаций [3], основные кинематические соотношения которой в прямоугольной декартовой системе пространственных (эйлеровых)



координат могут быть записаны в форме

$$\begin{aligned} \frac{De_{ij}}{Dt} &= \varepsilon_{ij} - \varepsilon_{ij}^p - \frac{1}{2} \left( (\varepsilon_{ik} - \varepsilon_{ik}^p + z_{ik})e_{kj} + e_{ik}(\varepsilon_{kj} - \varepsilon_{kj}^p - z_{kj}) \right), \\ \frac{Dp_{ij}}{Dt} &= \varepsilon_{ij}^p - p_{ik}\varepsilon_{kj}^p - \varepsilon_{ik}^p p_{kj}, \quad \frac{Dn_{ij}}{Dt} = \frac{dn_{ij}}{dt} - r_{ik}n_{kj} + n_{ik}r_{kj}, \\ \varepsilon_{ij} &= \frac{1}{2}(v_{i,j} + v_{j,i}), \quad v_i = \frac{\partial u_i}{\partial t} + v_m u_{i,m}, \\ r_{ij} &= w_{ij} + z_{ij}(e_{ij}, \varepsilon_{ij}), \quad w_{ij} = \frac{1}{2}(v_{i,j} - v_{j,i}), \\ d_{ij} &= e_{ij} + p_{ij} - \frac{1}{2}e_{ik}e_{kj} - e_{ik}p_{kj} - p_{ik}e_{kj} + e_{ik}p_{km}e_{mj}. \end{aligned} \quad (1)$$

В соотношениях (1),  $u_i, v_i$  — компоненты векторов перемещений и скоростей точек среды;  $e_{ij}$  и  $p_{ij}$  — обратимая и необратимая составляющие тензора полных деформаций Альманси  $d_{ij}$ ;  $\frac{D}{Dt}$  — объективная производная тензоров по времени; источник  $\varepsilon_{ij}^p$  в уравнении изменения тензора  $p_{ij}$  — тензор скоростей необратимых деформаций,  $z_{ij} = -z_{ji}$  — нелинейная часть тензора вращений, полностью выписанная в [3], определяющая его отличие от тензора жесткого вращения  $w_{ij}$ .

Следуя формализму неравновесной термодинамики, напряжения в среде полностью определяются обратимыми деформациями, и для рассматриваемого случая несжимаемой среды данные зависимости записываются в виде

$$\sigma_{ij} = -p_1 \delta_{ij} + \frac{\partial W}{\partial e_{ik}} (\delta_{kj} - e_{kj}). \quad (2)$$

В соотношениях (1)  $p_1$  — добавочное гидростатическое давление,  $W$  — упругий потенциал, который для изотропной среды принимается в форме

$$\begin{aligned} W &= (a - \mu)J_1 + aJ_2 + bJ_1^2 - kJ_1J_2 - \zeta J_1^2, \\ J_1 &= e_{jj} - \frac{1}{2}e_{ij}e_{ji}, \quad J_2 = e_{ij}e_{ji} - e_{ij}e_{jk}e_{ki} + \frac{1}{4}e_{ij}e_{jk}e_{ks}e_{si}. \end{aligned} \quad (3)$$

Здесь  $\lambda, \mu, a, b, \theta$  — упругие модули среды.

Принимаем, что компоненты тензора скоростей необратимых деформаций связаны с компонентами напряжений законом ползучести Нортон [4]:

$$\begin{aligned} \varepsilon_{ij}^p &= \frac{dV(\Sigma)}{d\sigma_{ij}}, \quad V(\Sigma) = B\Sigma(\sigma_{ij})^n, \\ \Sigma &= \sqrt{\frac{3}{2}} \left( (\sigma_1 - \sigma)^2 + (\sigma_2 - \sigma)^2 + (\sigma_3 - \sigma)^2 \right)^{\frac{1}{2}}, \quad \sigma = \frac{\sigma_1 + \sigma_2 + \sigma_3}{3}. \end{aligned} \quad (4)$$

Здесь  $B$  и  $n$  — заданные постоянные,  $\sigma_1, \sigma_2, \sigma_3$  — главные значения тензора напряжений.

## 2. ПОСТАНОВКА ЗАДАЧИ. РАЗРЕШАЮЩАЯ СИСТЕМА УРАВНЕНИЙ

Рассмотрим шар начального радиуса  $R_0$  с одиночным сферическим дефектом сплошности (микрора) начального радиуса  $r_0$  в центре шара. Процесс деформирования задается краевыми условиями:

$$\sigma_{rr}|_{r=R(t)} = -P(t), \quad \sigma_{rr}|_{r=s(t)} = 0, \quad (5)$$

в которых  $\sigma_{rr}$  — радиальная компонента тензора напряжений в сферической системе координат  $(r, \varphi, \theta)$ .  $R(t) \gg r_0$  — радиус сферической поверхности, на которой задается внешнее давление,  $s(t)$  — текущий радиус границы микропоры.

Кинематика среды согласно принятому условию несжимаемости определяется с точностью до неизвестной функции  $\varphi(t)$ :

$$u_r = r - (r^3 + \varphi(t))^{1/3}, \quad \varphi(t) = s_0^3 - s^3(t) = R_0^3 - R^3(t), \quad (6)$$



где  $u = u_r$  — единственная не равная нулю компонента вектора перемещений.

Согласно формулам (2) и (3) компоненты напряжений с точностью до неизвестной функции добавочного гидростатического давления вычисляются зависимостями

$$\begin{aligned} \sigma_{rr} = & -p_1 + g_1 e_{rr} + g_2 e_{rr}^2 - g_3 e_{rr} e_{\theta\theta} + g_4 e_{rr}^3 + g_5 e_{rr} e_{\theta\theta}^2 + g_6 e_{rr}^2 e_{\theta\theta} - g_7 e_{rr}^4 + \\ & + g_8 \left( e_{rr} e_{\theta\theta}^4 - 4 e_{rr} e_{\theta\theta}^3 + 2 e_{rr}^2 e_{\theta\theta}^3 - \frac{1}{2} e_{rr}^2 e_{\theta\theta}^4 \right) - g_9 e_{rr}^2 e_{\theta\theta}^2 + g_{10} \left( 3 e_{rr}^5 - \frac{1}{2} e_{rr}^6 \right) + \\ & + 2 g_{11} \left( e_{rr}^4 e_{\theta\theta} + 2 e_{rr}^3 e_{\theta\theta}^2 - 4 e_{rr}^3 e_{\theta\theta} - \frac{1}{2} e_{rr}^4 e_{\theta\theta}^2 \right), \\ \sigma_{\theta\theta} = & -p_1 + g_1 e_{\theta\theta} + g_{12} e_{\theta\theta}^2 - \frac{1}{2} g_3 e_{rr} e_{\theta\theta}^2 + g_{13} e_{\theta\theta}^3 + g_{18} \left( e_{\theta\theta}^5 - \frac{1}{6} e_{\theta\theta}^6 \right) + \\ & + g_{11} \left( \frac{1}{4} e_{rr}^4 e_{\theta\theta}^2 - 2 e_{rr}^3 e_{\theta\theta} + \frac{1}{2} e_{rr}^4 e_{\theta\theta} - e_{rr}^3 e_{\theta\theta}^2 \right) + g_{15} e_{rr} e_{\theta\theta}^2 - g_{16} e_{\theta\theta}^4 + \\ & + g_{14} e_{rr}^2 e_{\theta\theta} - g_{17} e_{rr}^2 e_{\theta\theta}^2 + g_8 \left( 2 e_{rr}^2 e_{\theta\theta}^3 + e_{rr} e_{\theta\theta}^4 - \frac{1}{2} e_{rr}^2 e_{\theta\theta}^4 - 4 e_{rr} e_{\theta\theta}^3 \right), \\ g_1 = & 2\mu, \quad g_2 = \mu + 4a + 4b + 2k, \quad g_3 = 4(2b + k), \\ g_4 = & 4 \left( a + b + 2k + \frac{3}{2}\zeta \right), \quad g_5 = 2(2b + 3k + 12\zeta), \quad g_6 = g_5 + 4k, \\ g_7 = & a + b + \frac{19}{2}k + 9\zeta, \quad g_8 = k + 6\zeta, \quad g_9 = 2b + 7k + 24\zeta, \quad g_{10} = \frac{3}{2}(k + \zeta), \\ g_{11} = & k + 3\zeta, \quad g_{12} = \mu + 4a + 8b + 4k, \quad g_{18} = 9(k + 2\zeta), \\ g_{13} = & 4(a + 2b + 4k + 6\zeta), \quad g_{14} = \frac{1}{2}g_5 - 6\zeta, \quad g_{15} = \frac{1}{2}g_6 + 12\zeta, \\ g_{16} = & a + 2b + 19k + 36\zeta, \quad g_{17} = b + \frac{7}{2} + 15\zeta, \quad p_1 = P - \frac{\partial W}{\partial J_1}. \end{aligned}$$

Компоненты полных деформаций по известному полю перемещений (6) находятся соотношениями

$$\begin{aligned} d_{rr} = \frac{1}{2} \left( 1 - H^{-4/3} \right), \quad d_{\theta\theta} = d_{\varphi\varphi} = \frac{1}{2} \left( 1 - H^{2/3} \right), \quad H = 1 + \frac{\varphi(t)}{r^3}, \quad (7) \\ d_{\theta\theta} = \frac{1}{2} \left( 1 - \frac{1}{\sqrt{1 - 2d_{rr}}} \right). \end{aligned}$$

Согласно кинематическим зависимостям (1) имеем:

$$\begin{aligned} \varepsilon_{rr}^p = \frac{dp_{rr}}{dt} (1 - 2p_{rr})^{-1}, \quad \varepsilon_{\theta\theta} = \frac{dp_{\theta\theta}}{dt} (1 - 2p_{\theta\theta})^{-1}, \quad (8) \\ e_{rr} = 1 - x^{-2/3}, \quad e_{\theta\theta} = 1 - x^{1/3}, \quad x = \left( \frac{1 - 2p_{rr}}{1 - 2d_{rr}} \right)^3 = H^4 (1 - 2p_{rr})^3. \end{aligned}$$

Подстановка (7) и (8) в определяющие соотношения (4) приводит к уравнению

$$\begin{aligned} \frac{dp_{rr}}{dt} (1 - 2p_{rr})^{-1} = Bn \Sigma^{n-1} \left( 1 - H^{-\frac{8}{3}} (1 - 2p_{rr})^{-2}, 1 - H^{\frac{1}{3}} (1 - 2p_{rr}) \right), \\ \Sigma(a, b) = g_1(a - b) - g_2 a^2 + g_{12} b^2 + g_4 a^3 - g_{13} b^3 + \frac{1}{2} g_3 \left( \frac{1}{2} ab^2 - ab \right) + \\ + g_{19} \left( a^2 b - \frac{1}{2} a^2 b^2 \right) + g_{10} \left( 3b^5 - \frac{1}{2} a^6 \right) + \frac{1}{3} g_{18} \left( \frac{1}{2} a^6 - 3b^5 \right) - g_7 a^4 + \\ + \frac{3}{4} g_{11} \left( a^4 b + 2a^3 b^2 - \frac{1}{2} a^4 b^2 - 4a^3 b \right) + g_{16} b^4, \quad (9) \\ g_{19} = 2b + 7k + 18\zeta. \end{aligned}$$

Уравнение (9) в каждой точке среды  $s(t) \leq r \leq R(t)$  является обыкновенным дифференциальным уравнением для вычисления компоненты необратимых деформаций  $p_{rr}$  (или  $p_{\theta\theta}$ ). С другой стороны,



компоненты напряжений находятся интегрированием уравнения движения:

$$\sigma_{rr,r} + 2\frac{\sigma_{rr} - \sigma_{\theta\theta}}{r} = -\rho_0 \left( \frac{\ddot{\varphi}(t)}{3r^2} + \frac{2}{9} \frac{\dot{\varphi}^2(t)}{r^5} \right),$$

используя второе граничное условие (5). Вычислив напряжения на внешней границе согласно первому граничному условию (5), получаем интегродифференциальную связь между нагружающим давлением  $P(t)$  и функцией  $\varphi(t)$ :

$$P(t) = 2 \int_{s(t)}^{R(t)} \frac{\Sigma(e_{rr}, e_{\theta\theta})}{r} dr - \rho_0 \left( \frac{\ddot{\varphi}(t)}{3} \left( \frac{1}{R(t)} - \frac{1}{s(t)} \right) + \frac{\dot{\varphi}^2(t)}{18} \left( \frac{1}{R(t)^4} - \frac{1}{s(t)^4} \right) \right). \quad (10)$$

Численные расчеты удобнее провести в безразмерных переменных:

$$\tau = \sqrt{\frac{\mu}{\rho_0}} \frac{t}{R_0}, \quad f(\tau) = \frac{\varphi(t)}{R_0^3}, \quad \Pi(\tau) = \frac{P(t)}{\mu}, \quad y = \frac{r}{R_0}.$$

Ниже будут приведены результаты расчетов, когда постоянным материала были предписаны следующие значения:

$$\alpha\mu^{-1} = 0.9, \quad \beta\mu^{-1} = 4, \quad \xi\mu^{-1} = 20, \quad \chi\mu^{-1} = 80, \quad n = 3, \\ B_0 = nB\rho_0R_0\mu^{n-2} = 3.5, \quad k\mu^{-1} = 0.003, \quad s_0R_0^{-1} = 0.03.$$

Функция  $f(t)$ , определяющая кинематику среды, выбиралась следующим образом:

$$f_1(\tau) = 269 \cdot 10^{-7} (1 - e^{-\tau^2/250}), \quad f_2(\tau) = r_0^3 (1 - e^{-\tau^2/250}), \\ f_3(\tau) = 269 \cdot 10^{-7} \left( 1 - e^{-p_3(\tau/22)} \right), \quad p_3(x) = \frac{3x^2}{2} - \frac{x^3}{3} - \frac{x^4}{2} + \frac{x^5}{5}.$$

На рис. 1 и 2 проиллюстрированы изменения границы микропоры и нагружающего усилия соответственно при функциях, определяющих поле перемещений ( $f_1$  — сплошная линия,  $f_2$  — штриховая линия,  $f_3$  — пунктирная линия).

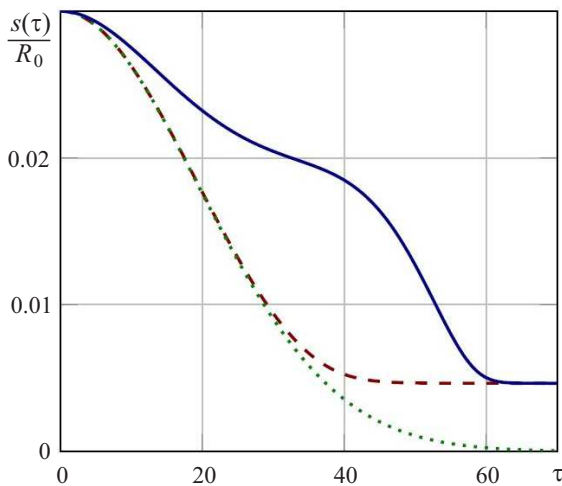


Рис. 1. Динамика границы микропоры

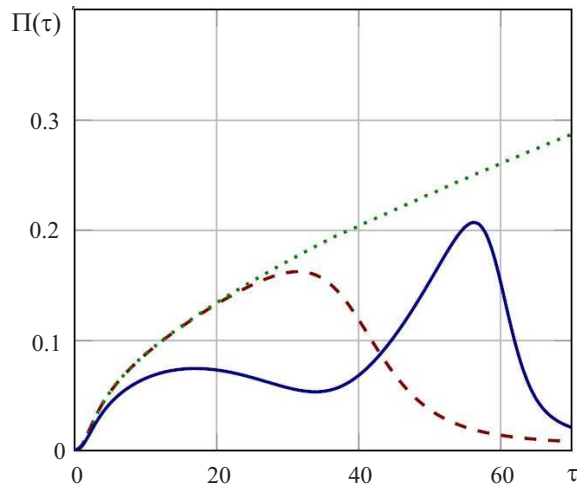


Рис. 2. Изменения нагружающего усилия

## ЗАКЛЮЧЕНИЕ

Предложенная модель процесса нелинейной ползучести при больших деформациях основана на модели больших упругопластических деформаций, в которой разделение полных деформаций на обратимую и необратимую составляющие является следствием понятных термодинамических принципов,



что является существенным преимуществом примененного подхода. Решенные задачи о ползучести, релаксации напряжений и разгрузке в шаре с одиночным сферическим дефектом сплошности имеют своей целью описание экспериментально известного процесса залечивания микропор.

Работа выполнена при финансовой поддержке РФФИ (проект 12-01-33064 мол\_а\_вед).

### Библиографический список

1. Горелов В. И. Исследование влияний высоких давлений на механические характеристики алюминиевых сплавов // Прикладная механика и техническая физика. 1984. № 5. С. 157–158.
2. Буренин А. А., Быковцев Г. И., Ковтанюк Л. В. Об одной простой модели для упругопластической среды при конечных деформациях // Докл. АН. 1996. Т. 347, № 2. С. 199–201.
3. Буренин А. А., Ковтанюк Л. В., Полоник М. В. Возможность повторного пластического течения при общей разгрузке упругопластической среды // Докл. АН. 2000. Т. 375, № 6. С. 767–769.

## The Loading Parameters Calculation of a Hollow Sphere at the Large Elastocreep Deformations

E. V. Murashkin

Institute for Problems in Mechanics of RAS, 101-1, Vernadskogo ave., 119526, Moscow, Russia, murashkin@ipmnet.ru, evmurashkin@gmail.com

We presented a model of large elastocreep deformations. Separation of Almansi strain tensor is determined by the quadratic form of reversible and irreversible components. We consider spherically symmetric deformation of a hollow sphere in the steady creep process. Numerical solution of boundary-value problem was obtained. A method for determining loading force on the deformed state was proposed. Functions of the external loading force according to the laws of a given change in the displacement field were constructed.

*Key words:* large deformation, creep, relaxation, elasticity.

### References

1. Gorelov V. I. Effect of high pressure on mechanical characteristics of aluminum alloys. *Journal of Applied Mechanics and Technical Physics*, 1984, vol. 25, iss. 5, pp. 813–814.
2. Burenin A. A., Bykovtsev G. I., Kovtanyuk L. V. A simple model of finite strain in an elastoplastic medium. *Doklady physics*, 1996, vol. 41, no. 3, pp. 127–129.
3. Burenin A. A., Kovtanyuk L. V., Polonik M. V. The possibility of reiterated plastic flow at the overall unloading of an elastoplastic medium. *Doklady physics*, 2000, vol. 45, no. 12, pp. 694–696.

УДК 519.654

## ВОССТАНОВЛЕНИЕ ЛИНЕЙНЫХ ФУНКЦИОНАЛЬНЫХ ЗАВИСИМОСТЕЙ С ЗАДАННОЙ ОСОБЕННОСТЬЮ

Р. Т. Файзуллин<sup>1</sup>, Р. Р. Файзуллин<sup>2</sup>

<sup>1</sup>Доктор технических наук, профессор кафедры комплексной защиты информации, Омский государственный технический университет, r.t.faizullin@mail.ru

<sup>2</sup>Кандидат физико-математических наук, старший преподаватель кафедры комплексной защиты информации, Омский государственный технический университет, strannik11@list.ru

Предложены способы восстановления функциональной зависимости с заданным разрывом. Приведены примеры применения алгоритма построения функций с особенностью. Первый способ основан на формальной минимизации функции методом случайного поиска. Второй использует информативность данных.

*Ключевые слова:* метод наименьших квадратов, разрыв, особенность.